BCPST1 – G. Furelaud 1/16

SV-A-1 poly 01

La Vache, un Bovidé - documents

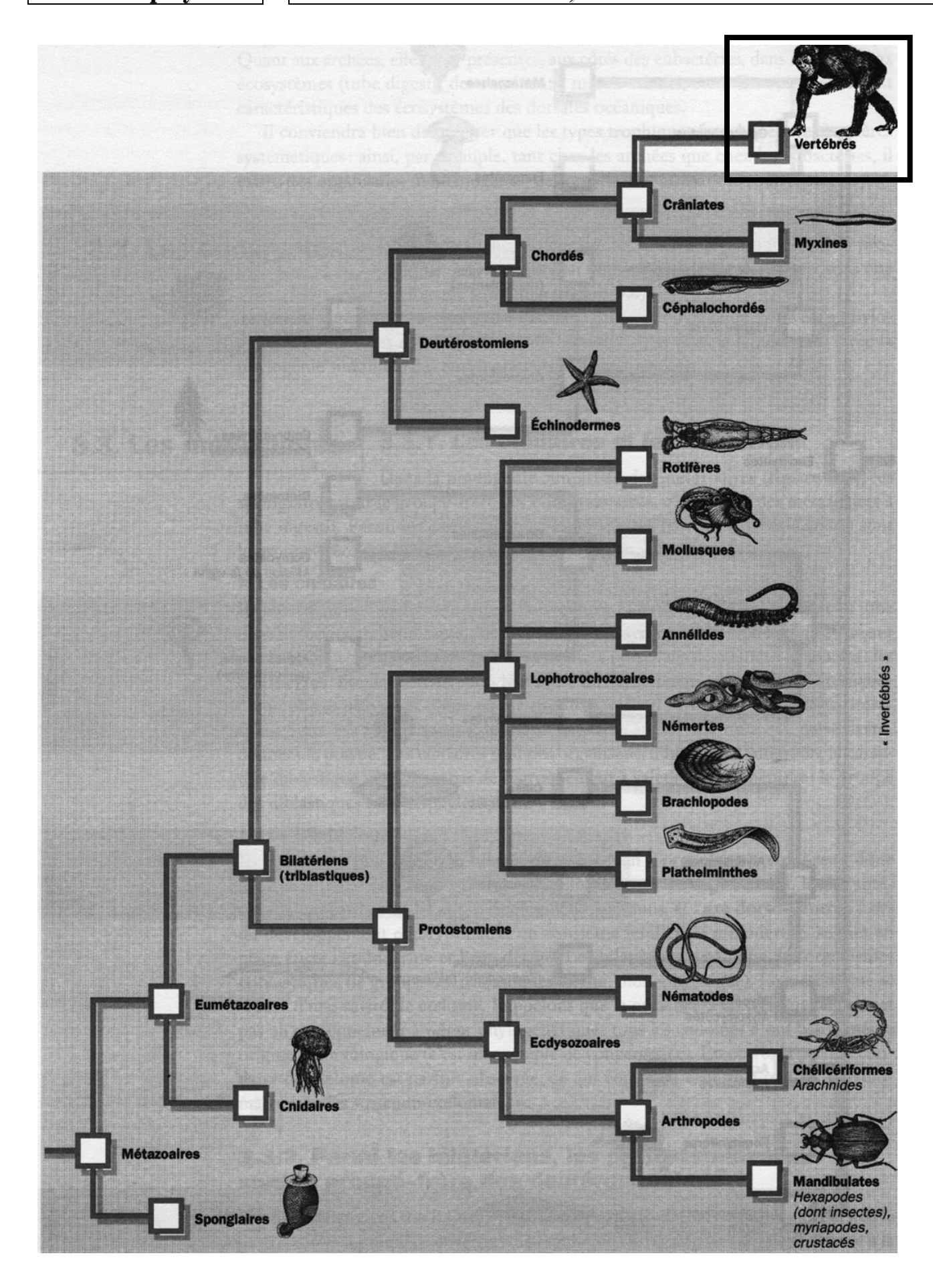


Fig. 1. (rappel) Phylogénie simplifiée des Métazoaires. [2]

BCPST1 – G. Furelaud 2/16

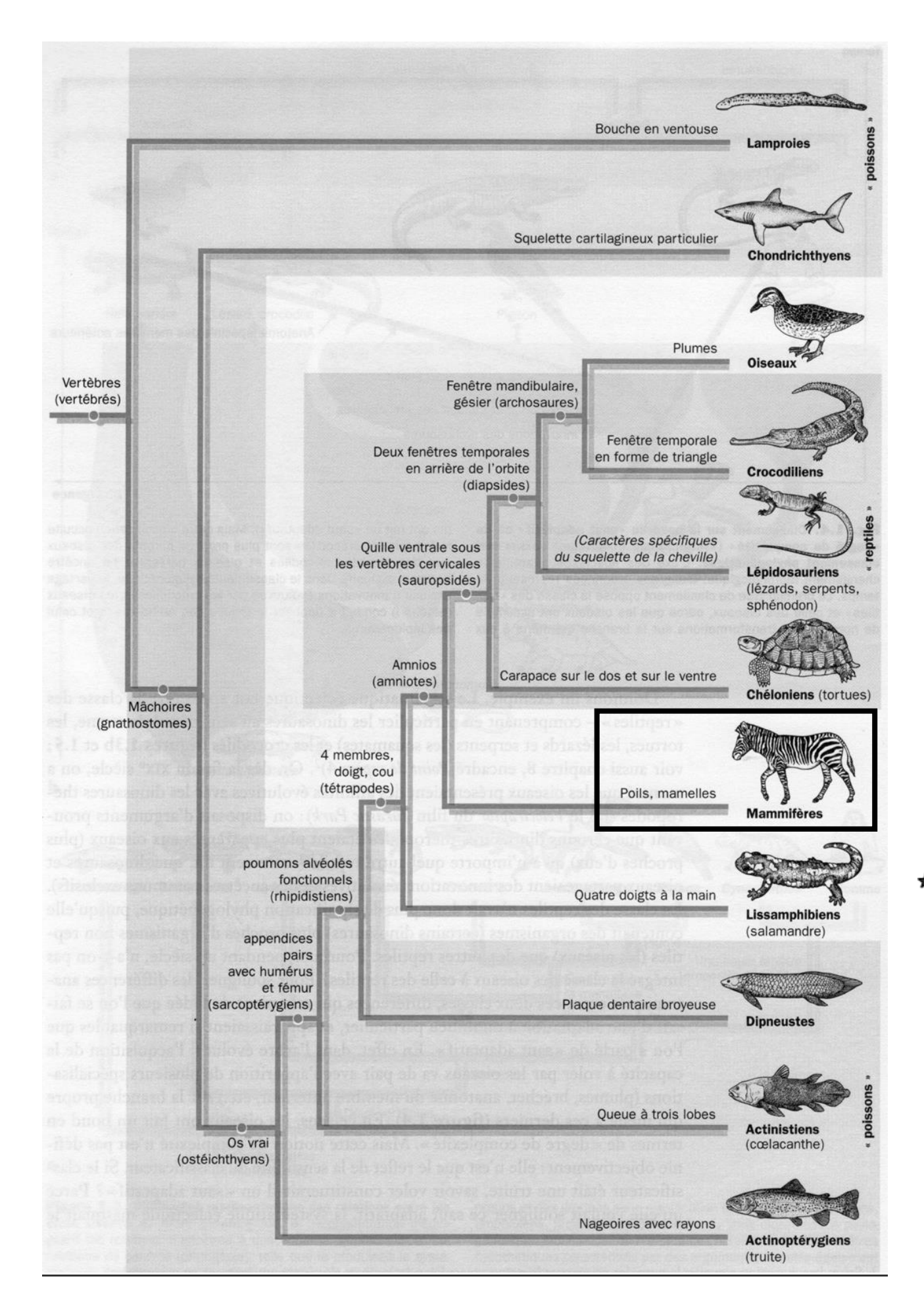
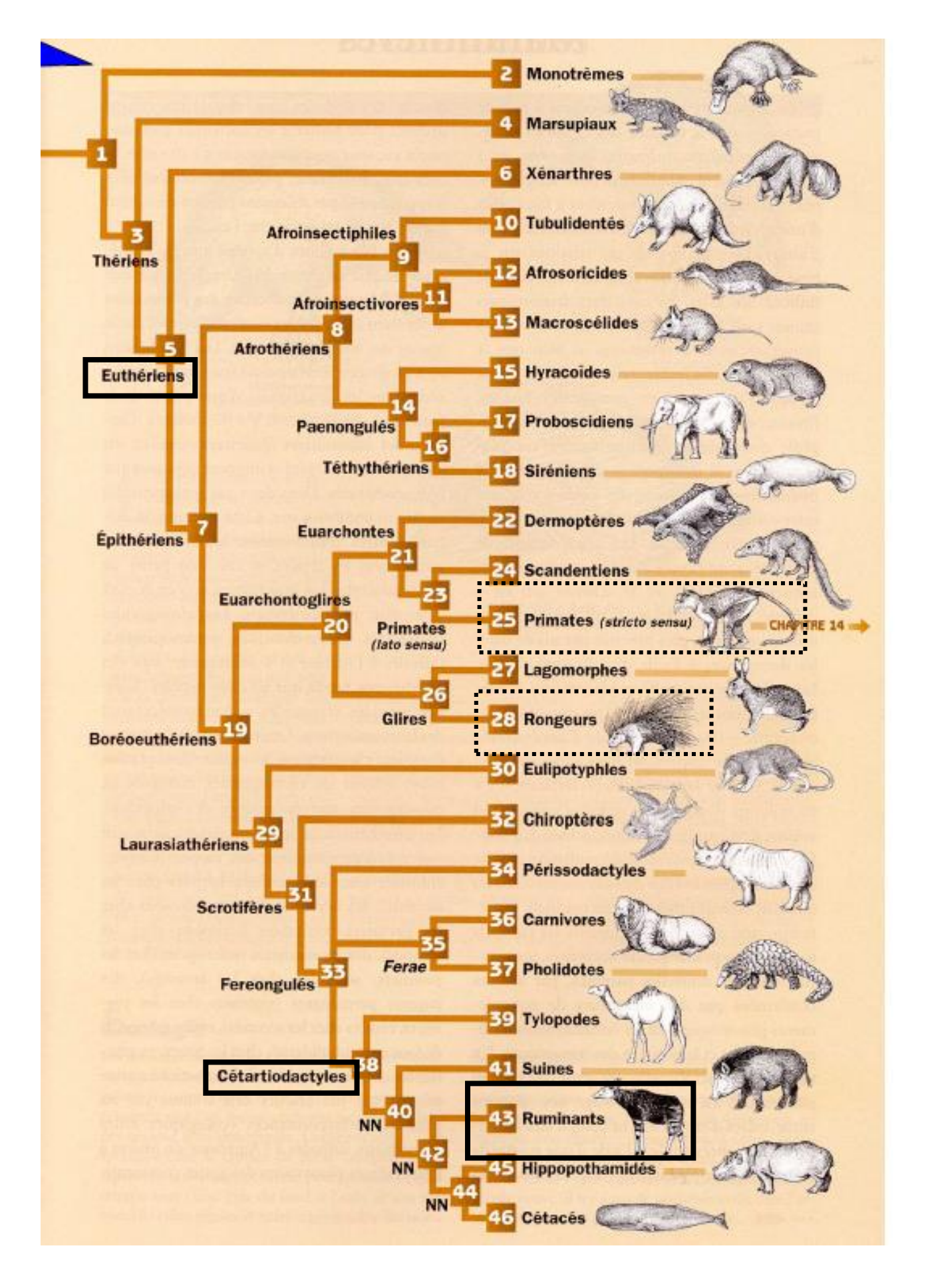


Fig. 2. (rappel) Phylogénie simplifiée des Vertébrés. [2]

BCPST1 – G. Furelaud 3/16



BCPST1 – G. Furelaud 4/16

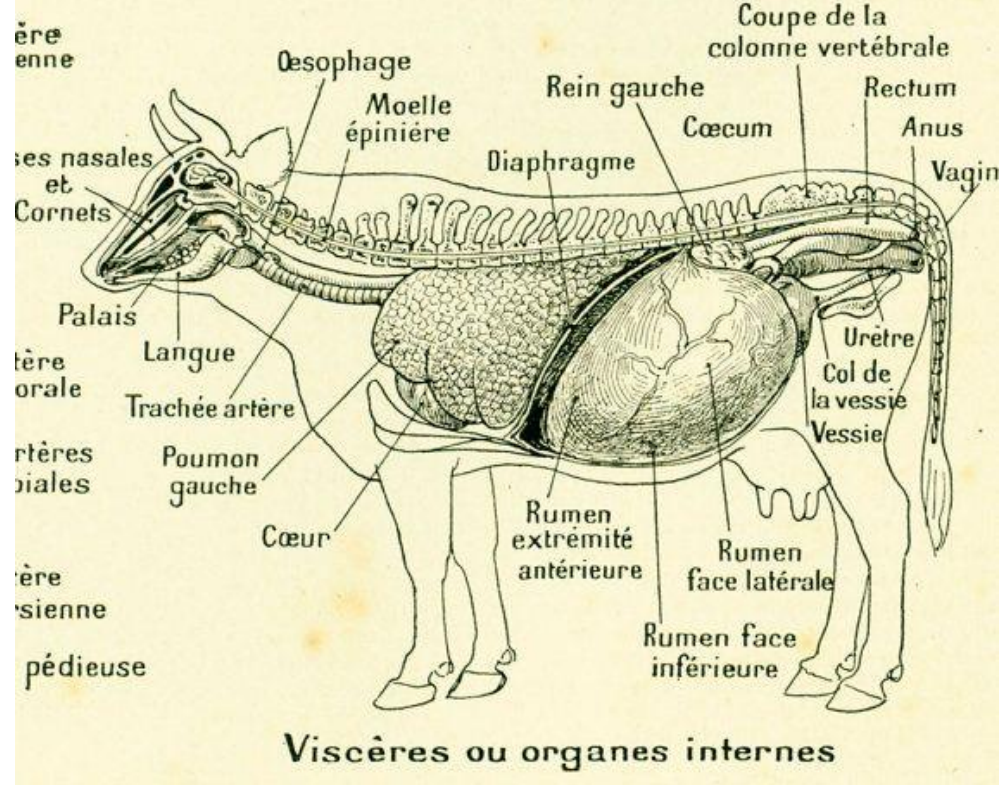
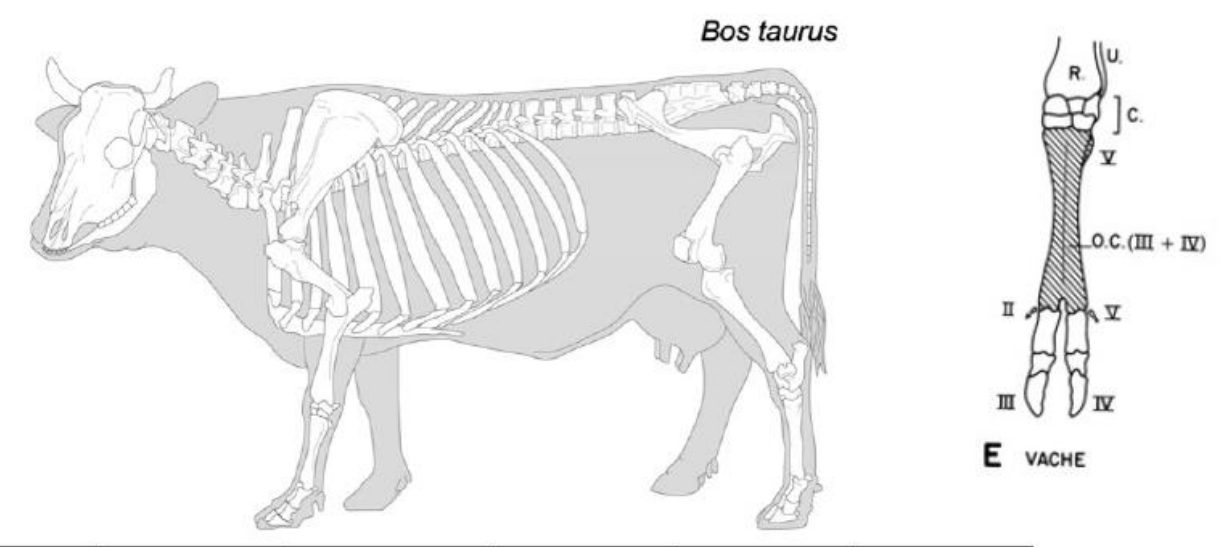


Fig. 4. Anatomie simplifiée de la Vache. *** [1]



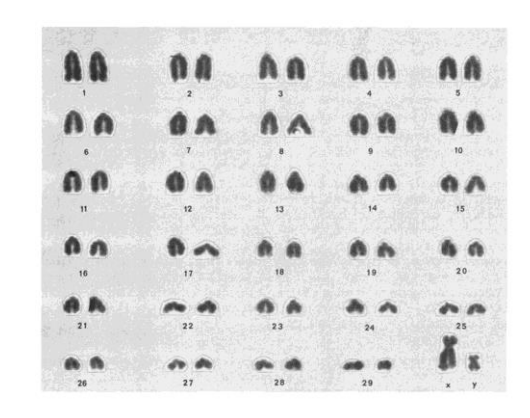
Espèce	Vertèbres cervicales	Vertèbres thoraciques	Vertèbres lombaires	Vertèbres sacrées	Vertèbres caudales
Bovin	7	13	6	5	18 à 21

Fig. 5. Squelette de la Vache. ** [1]

Fig. 6. Le caryotype de Bos taurus. ★ [1]

On dénombre 30 paires de chromosomes, portant environ 22 000 gènes, dont 80% sont identiques au génome humain (génome complet de la Vache séquencé en 2009).

Le caryotype ci-contre est un caryotype mâle : 60,XY



BCPST1 – G. Furelaud 5/16

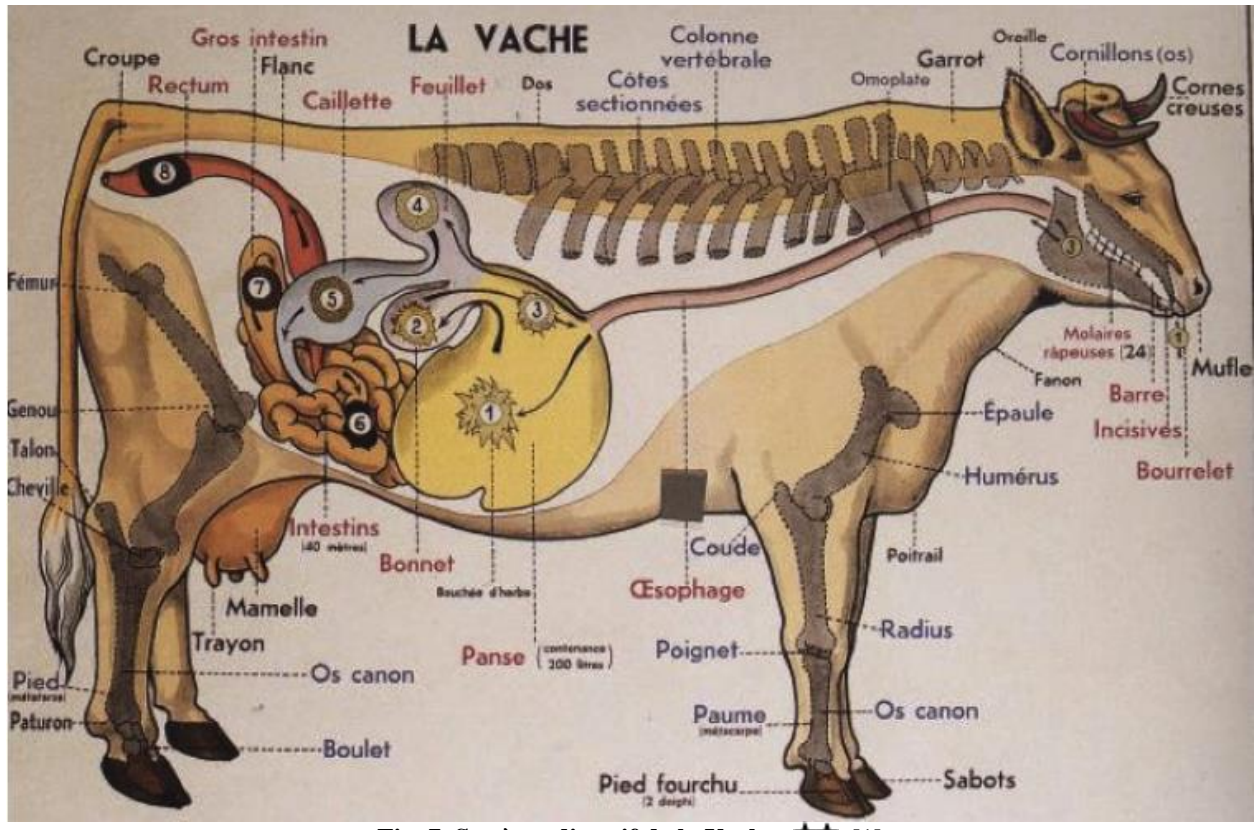


Fig. 7. Système digestif de la Vache. 🗯 [1]

Milieu Aquatique	Milieu Aérien	
Porteur (forte poussée d'Archimède : soutien des structures externes par le milieu)	Peu porteur (→ nécessité de structures de soutien)	
Humide	Desséchant (→ nécessité de limitation de la perte hydrique)	
Viscosité forte	Viscosité faible	
Faible pression partielle en O₂ (→ nécessité d'échangeurs optimisés)	Forte pression partielle en O ₂	
Bon conducteur thermique	Isolant thermique	
Très peu compressible (→ utilisation des variations de pression)	Forte compressibilité (→ amplification des sons par oreille interne)	
$\frac{/! \setminus marin \neq aquatique}{Aquatique = marin + dulçaquicole (eau douce)}$	/!\ fortes variations temporelles et spatiales	

Fig. 8. Les caractéristiques principales du milieu aérien et du milieu aquatique.

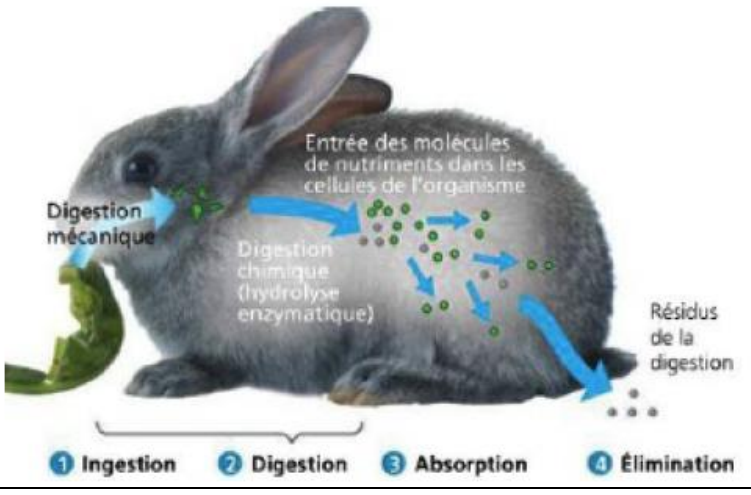


Fig. 9. Les quatre étapes de l'alimentation.

BCPST1 – G. Furelaud 6/16



Fig. 11. Les mâchoires de la Vache. ★ [1]

Fig. 10. L'ingestion. **★** [1]

La prise alimentaire est longue : environ 8 à 10 heures par jour, et surtout concentrée sur le lever et le coucher du soleil.

La rumination occupe environ 8 heures par jour, en grande partie pendant la nuit.

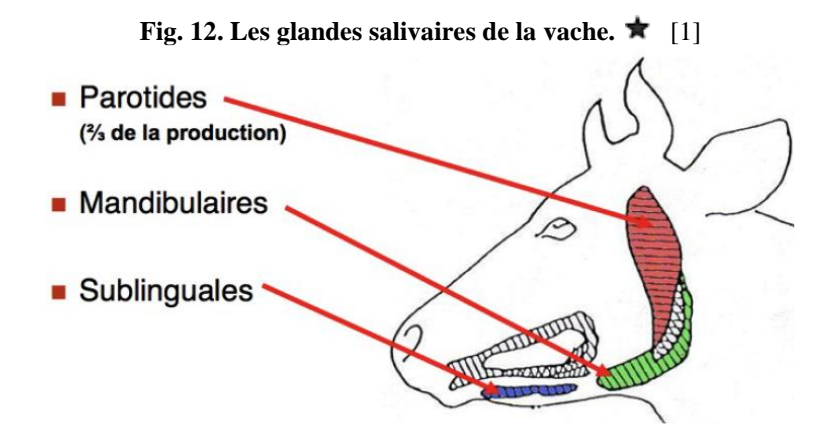
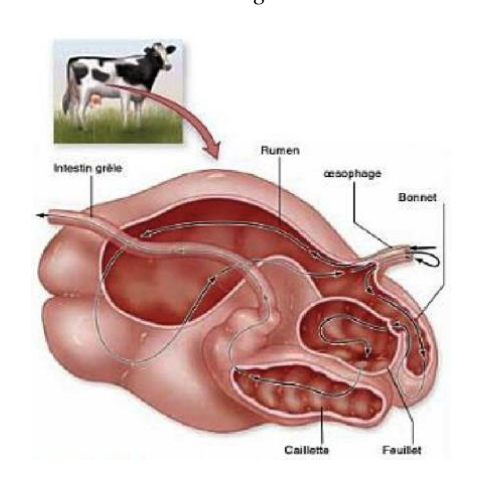
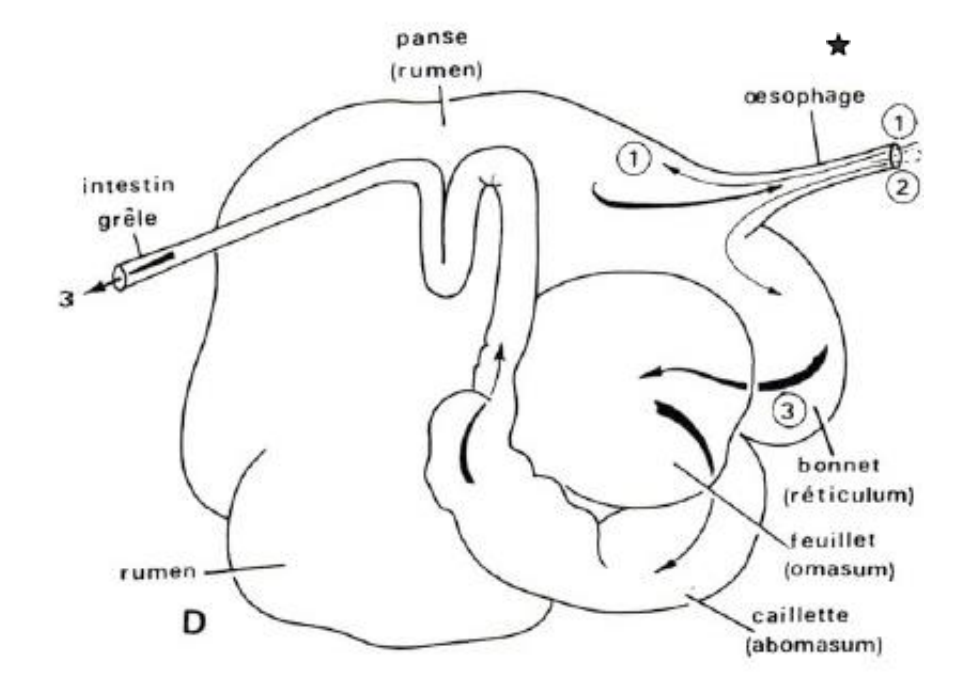


Fig. 13. L'estomac de la Vache.

Parcours des aliments : Ingestion → panse → rumination (cavité buccale) → bonnet → feuillet → caillette → intestin grêle.

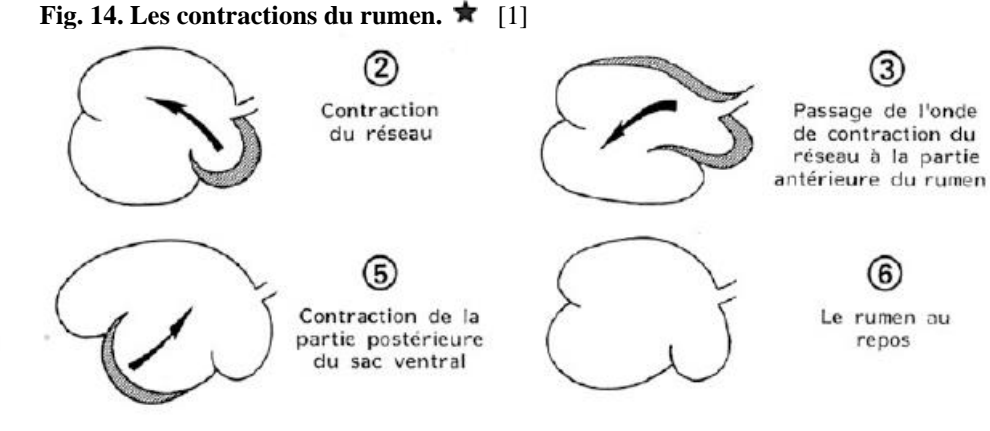




Le rumen au repos

Contraction de la partie postérieure

du sac dorsal



BCPST1 – G. Furelaud 7/16

Fig. 15. Effet des bactéries symbiotiques sur une fibre de cellulose. \bigstar [1] Les microorganismes attaquent grâce à leurs nombreuses et diverses enzymes hydrolytiques, les fibres de cellulose des fourrages. (Hydrolyse : R-R' + H₂O \leftrightarrow R-OH +R'-H)

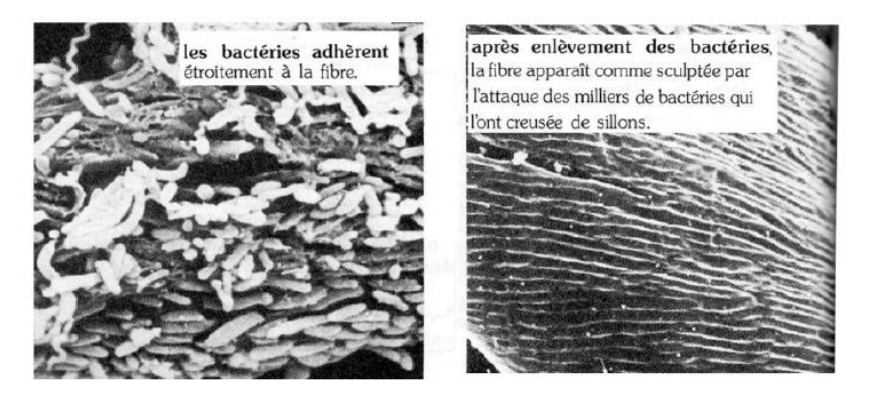
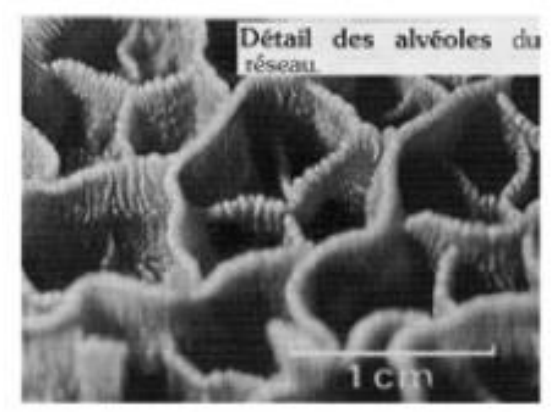


Fig. 16. Les parois du bonnet (à gauche) et du feuillet (à droite)



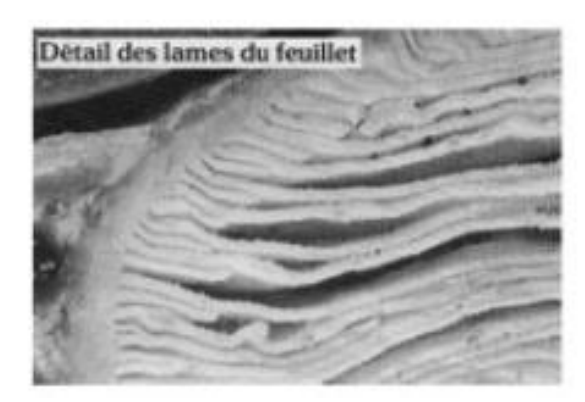
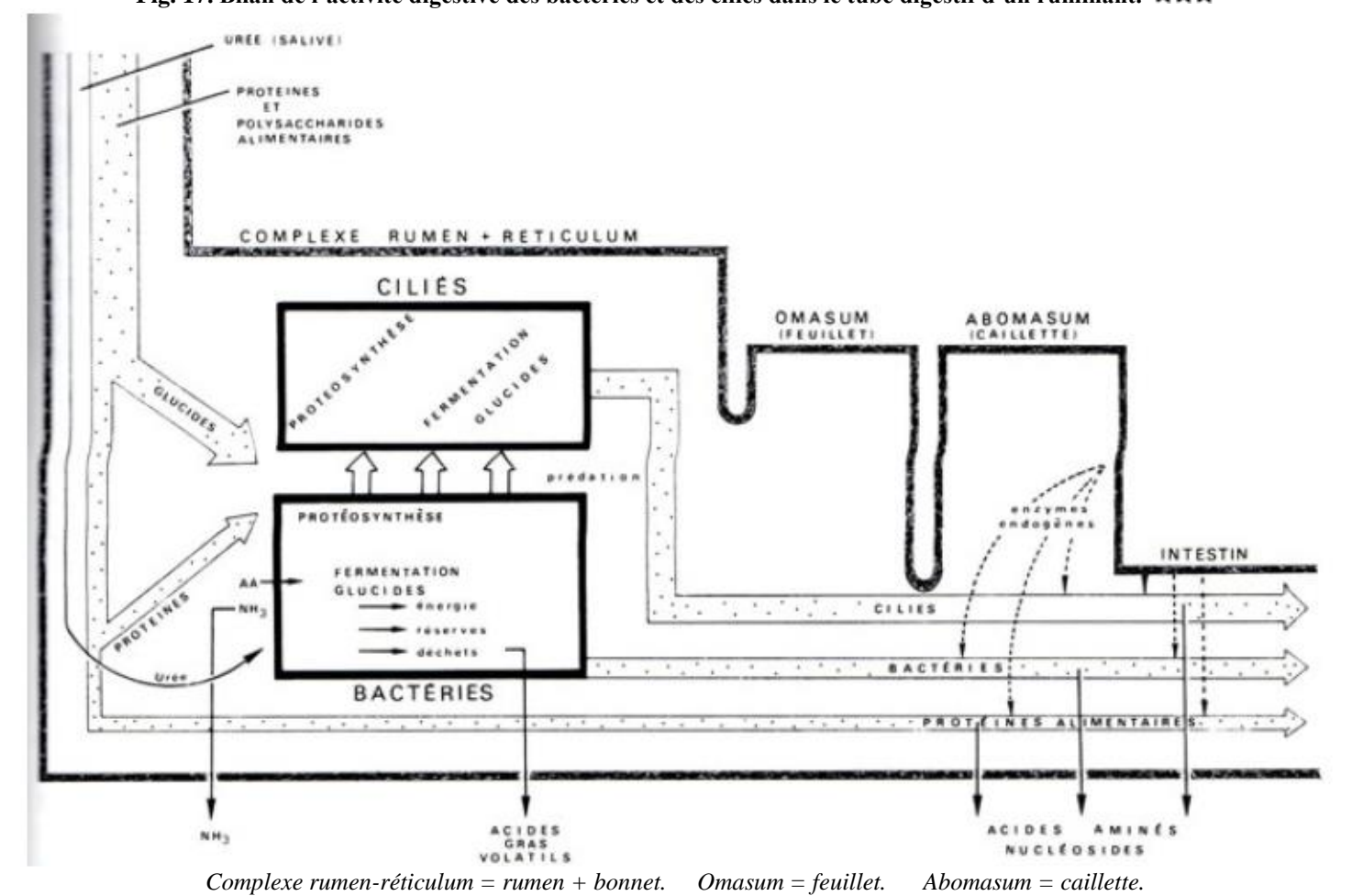


Fig. 17. Bilan de l'activité digestive des bactéries et des ciliés dans le tube digestif d'un ruminant.



BCPST1 – G. Furelaud 8/16

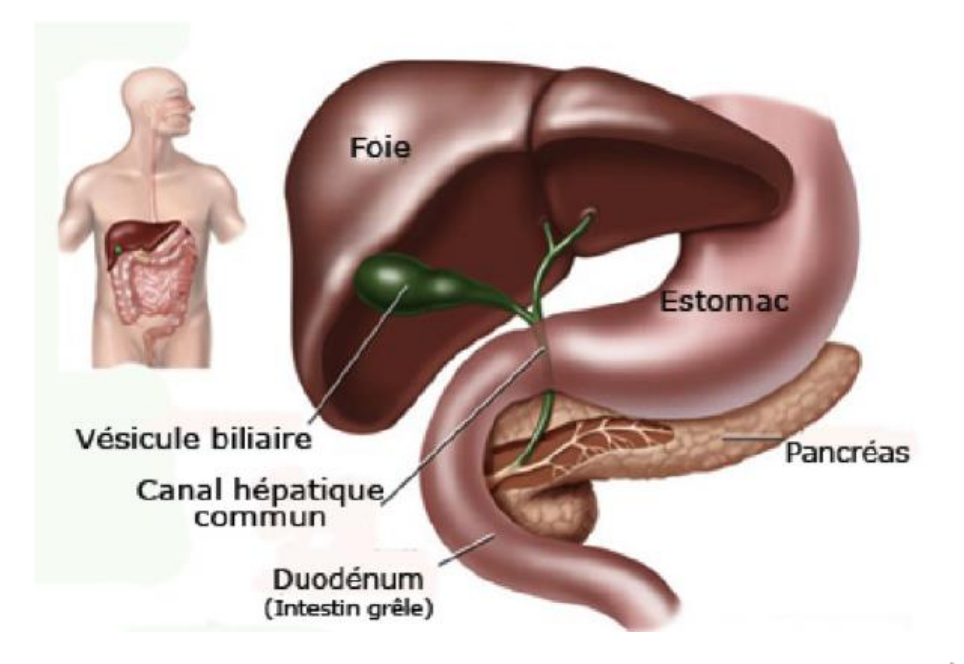
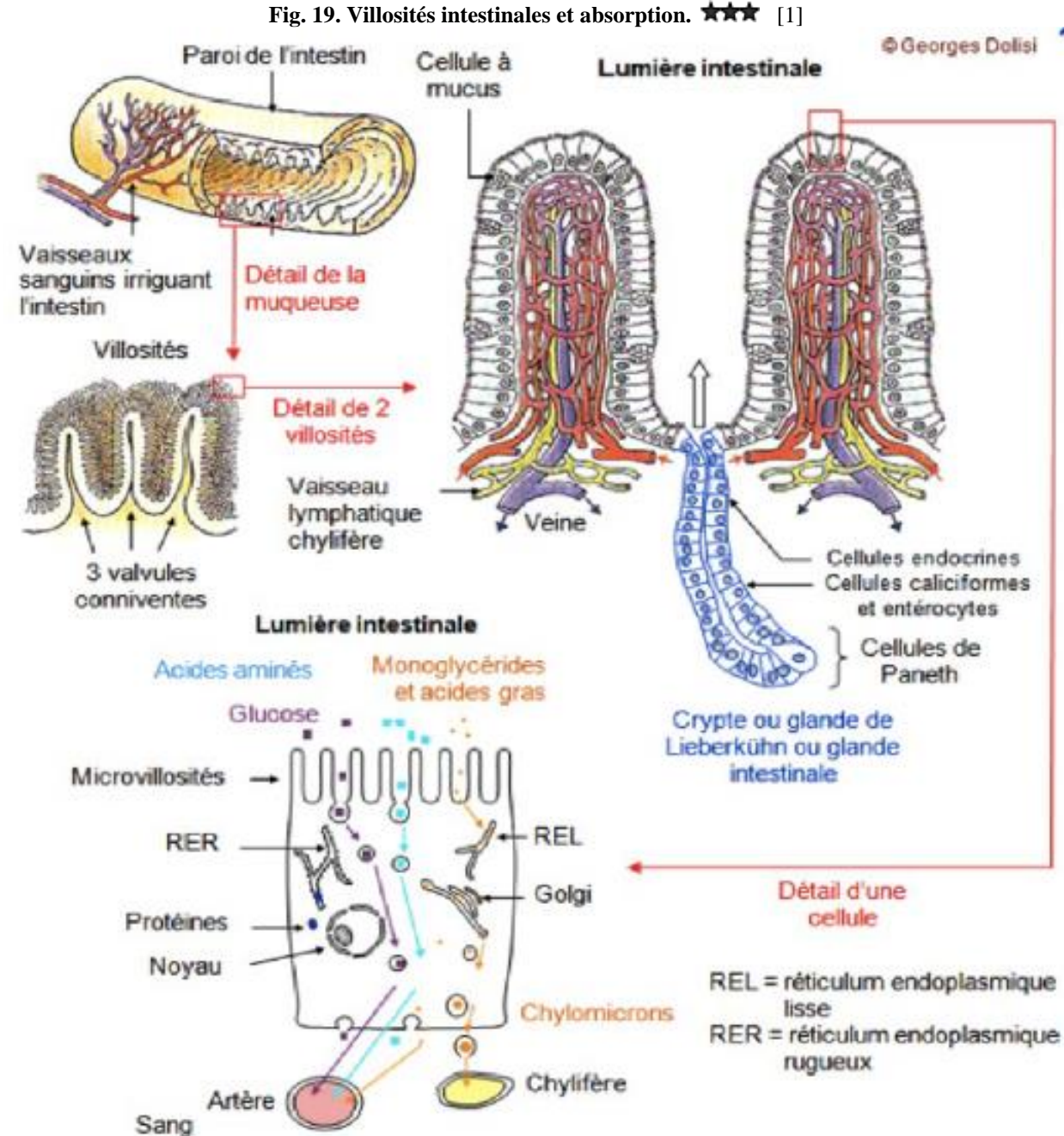


Fig. 18. Situation du foie et du pancréas



BCPST1 – G. Furelaud 9/16



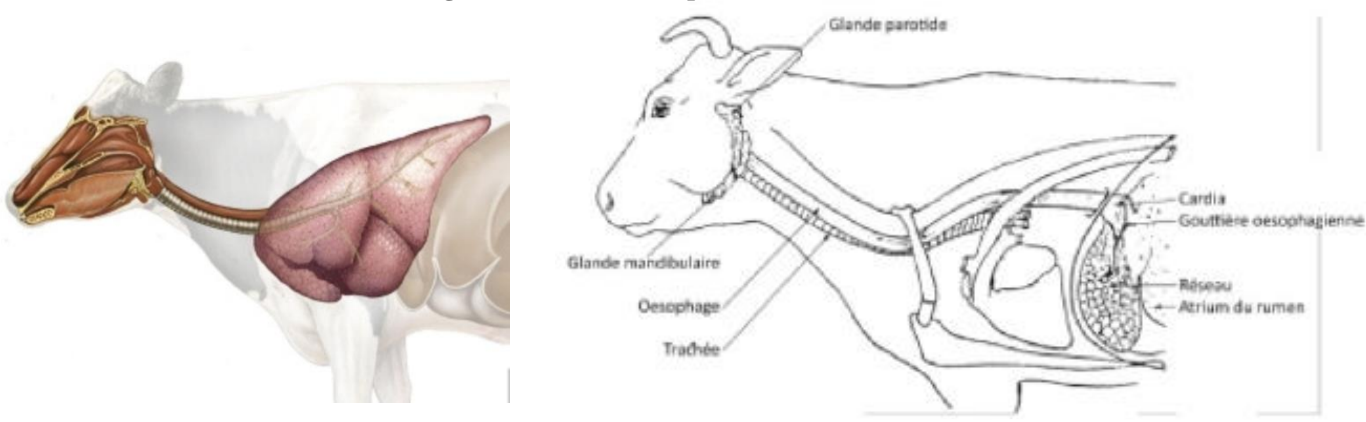
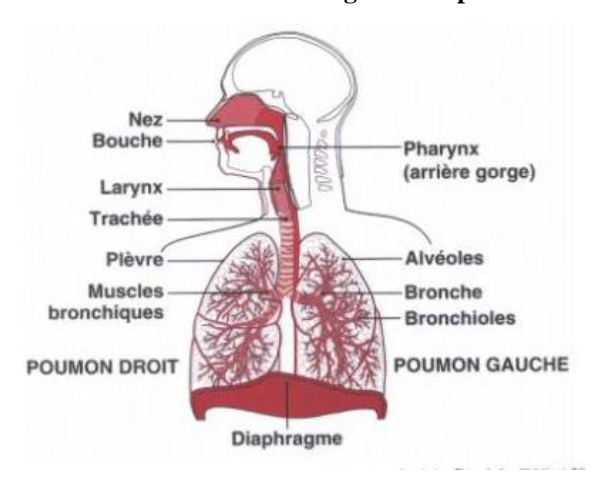
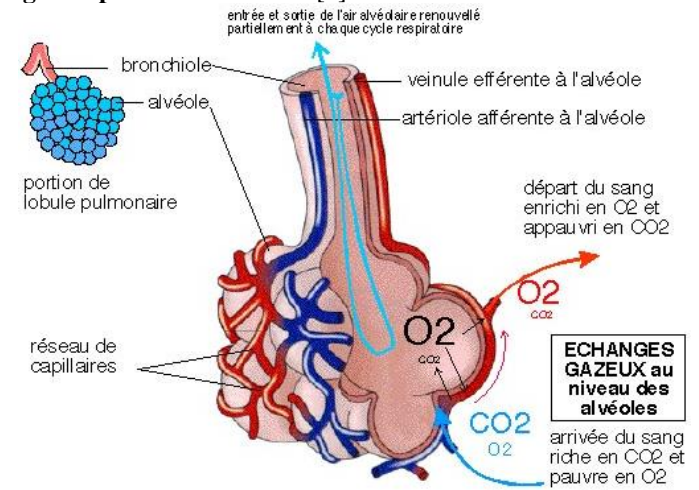


Fig. 20. Les poumons et les échanges respiratoires. *** [1]





LA PETITE L'artère CIRCULATION pulmonaire **POUMONS** Les veines pulmonaires La veine cave supérieure La veine cave inférieure CŒUR sus-hépatique mésentérique LA GRANDE CIRCULATION INTESTIN Veine porte REINS Veine Artère

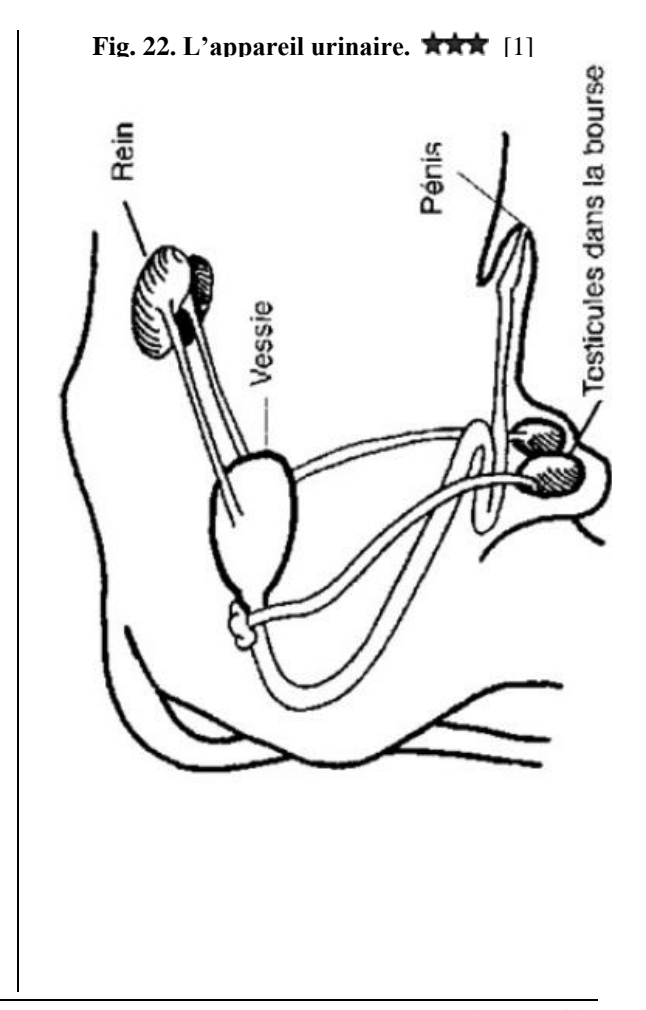
CO2

+ Déchets

02

= Assimilation

Fig. 21. La double circulation des Mammifères.



BCPST1 – G. Furelaud 10/16

Fig. 23. L'appareil reproducteur du taureau. 🗯 [1]

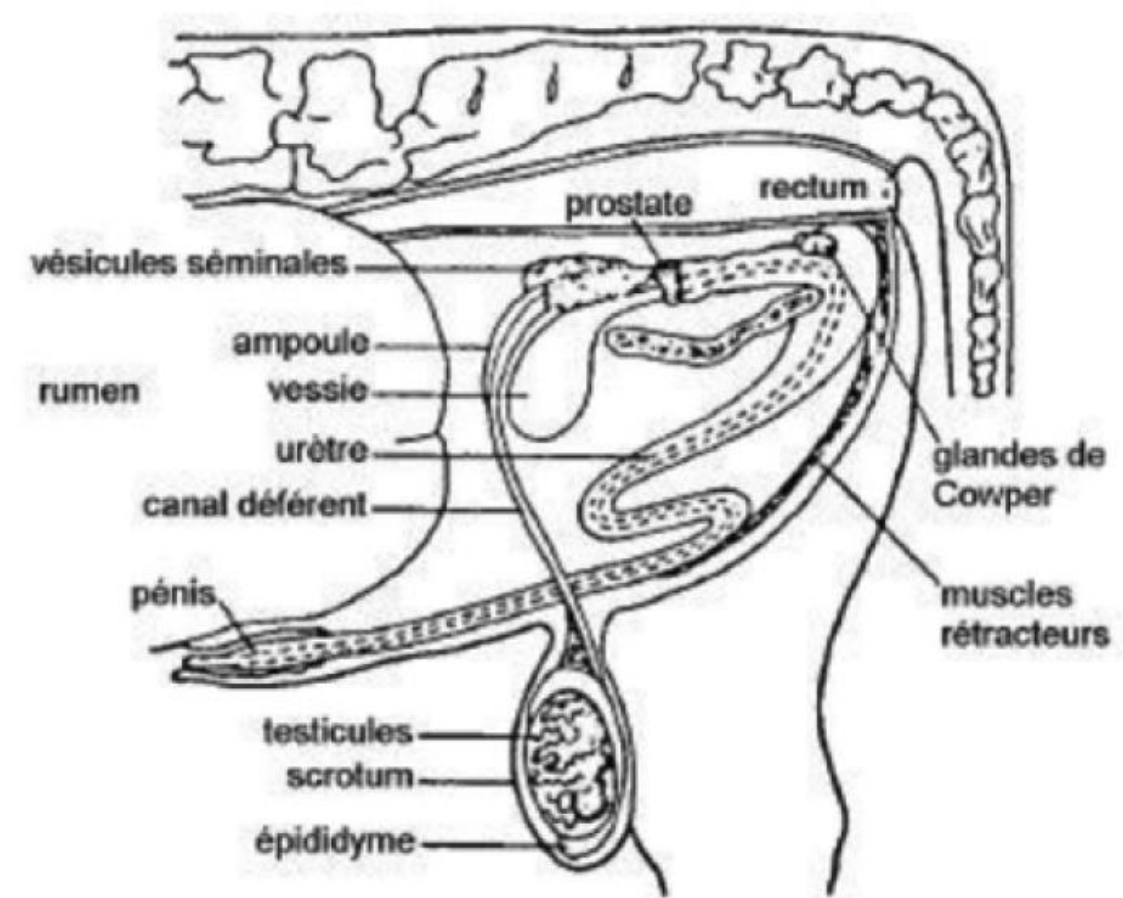
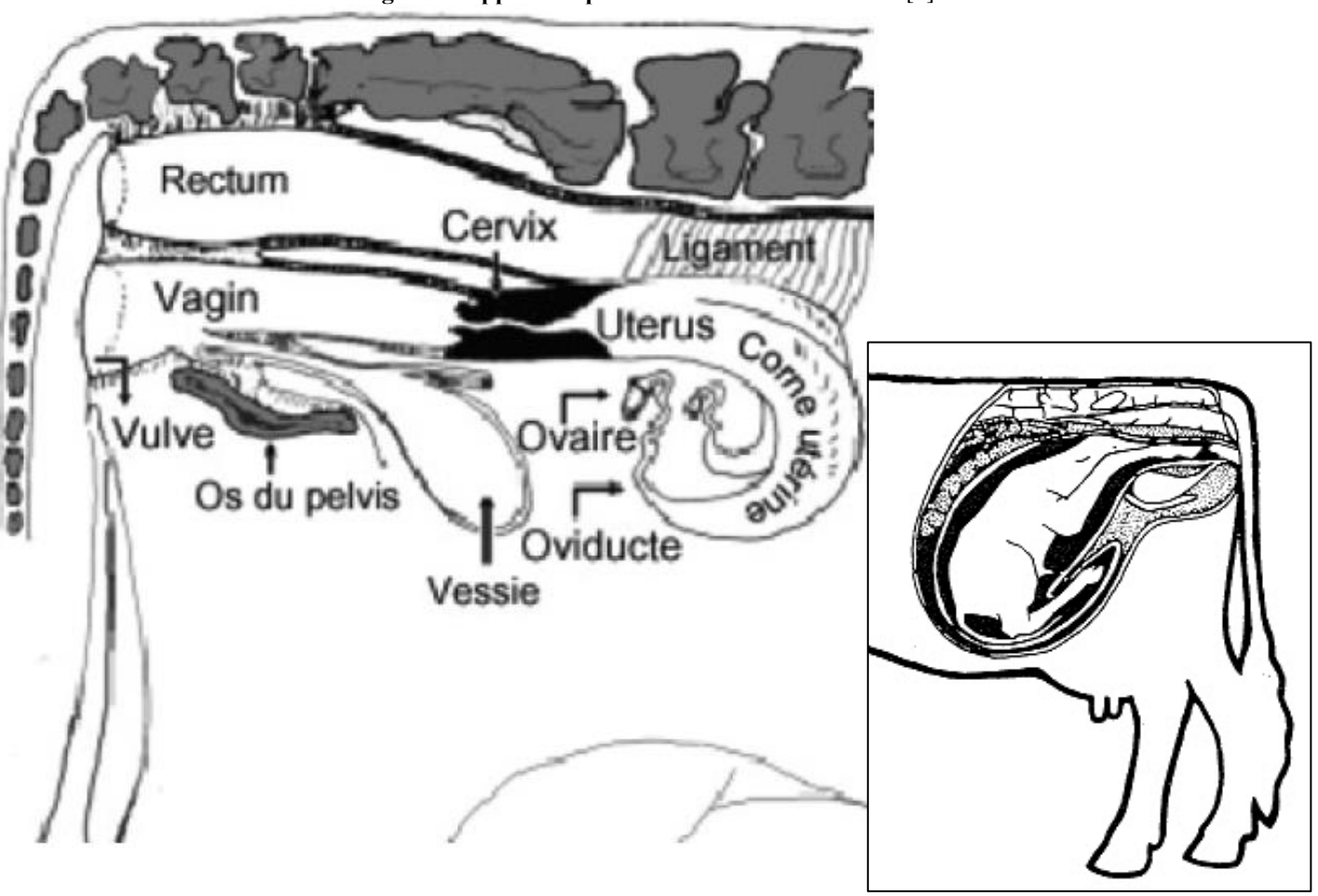


Fig. 24. L'appareil reproducteur de la vache. ** [1]



BCPST1 – G. Furelaud 11/16

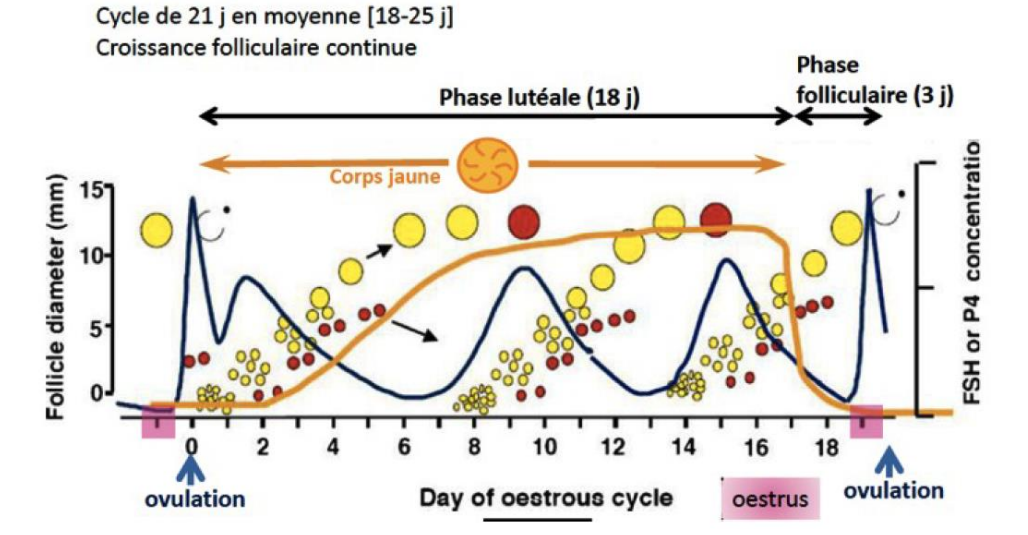


Fig. 25. Le cycle oestrien chez la vache.

Fig. 26. Le comportement de rut. **†** [1]



Une saillie « naturelle »



Un chevauchement entre vaches

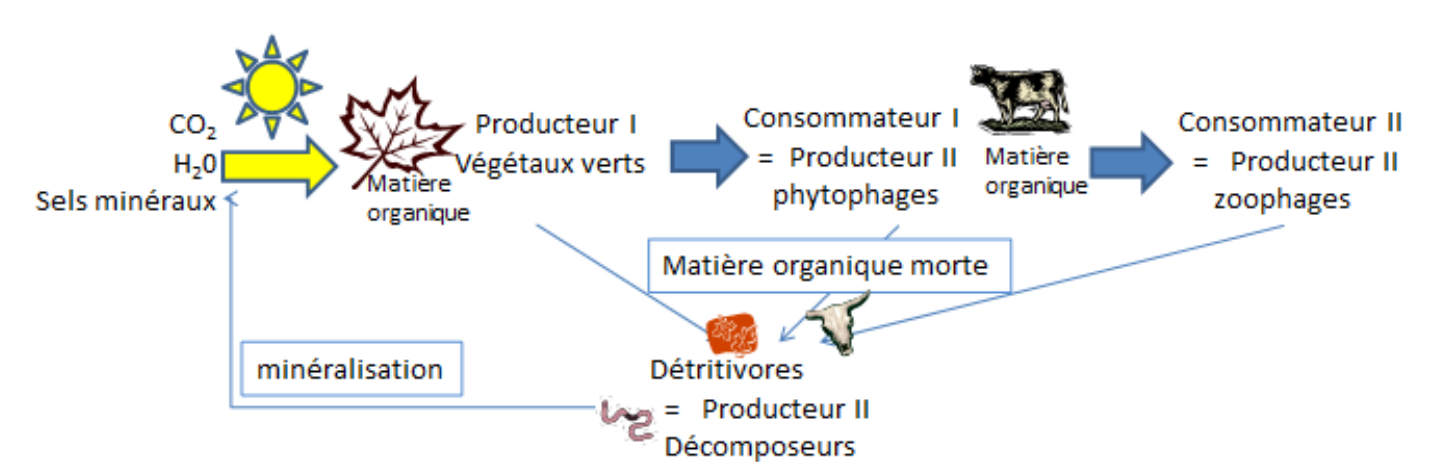


Fig. 27. La position de la Vache dans le réseau trophique de son écosystème.



Fig. 28. Un exemple de comportement : la mise en mouvement du troupeau. * [1]

BCPST1 - G. Furelaud 12/16

Fig. 29. L'insémination artificielle et la maîtrise de la reproduction par l'Homme ***** [1]







- Nombre de descendants par mâle :

- monte naturelle : jusqu'à 30-40 veaux /mâle/an - insémination : jusqu'à > 100 000 veaux/mâle

Rythmes de reproduction des femelles :

- pour la production de viande et de lait : 1 veau/vache/an

- en sélection : 20-30 veaux/vache/an

- Utilisation des hormones : maîtrise des chaleurs et de l'ovulation, maîtrise du nombre d'ovulations, maîtrise de la mise-bas

L'insémination artificielle concerne 4 millions de vaches par an en France, 91% des vaches de races laitières, et 20% des vaches allaitantes.

A cette fin la semence mâle est prélevée puis congelée dans l'azote liquide, ce qui permet une conservation indéfinie. Un éjaculat de taureau fournit en général 300 doses (de 20 millions de spermatozoïdes chacune). Un taureau peut ainsi conduire à la production de plus de 100 000 veaux au cours de sa vie!

Lors de l'insémination, un inséminateur dépose manuellement une dose dans l'utérus de la vache.

Fig. 29 bis. Caractères recherchés en sélection **†** [1]

	Races laitières	Races allaitantes	
Caractères liés au produit	Quantité de protéines (kg/lactation)	Vitesse de croissance (g/jour)	
	Quantité de matières grasses (kg/lactation)		
	Teneur du lait en protéines (g/kg)	Développement musculaire	
	Teneur du lait en matières grasses (g/kg)	Faible adiposité	
	Fertilité des vaches	Fertilité des vaches	
Caractères	Santé de la mamelle		
fonctionnels	Morphologie de la mamelle	Facilité de naissance des veaux	
	Longévité fonctionnelle	Valeur laitière des mères	

Une race laitière : la Prim'Holstein



Produit en moyenne 10300 L de lait par an. 2 800 000 têtes en France environ. Vaches de 600 à 700 kg (1,1T pour le taureau).

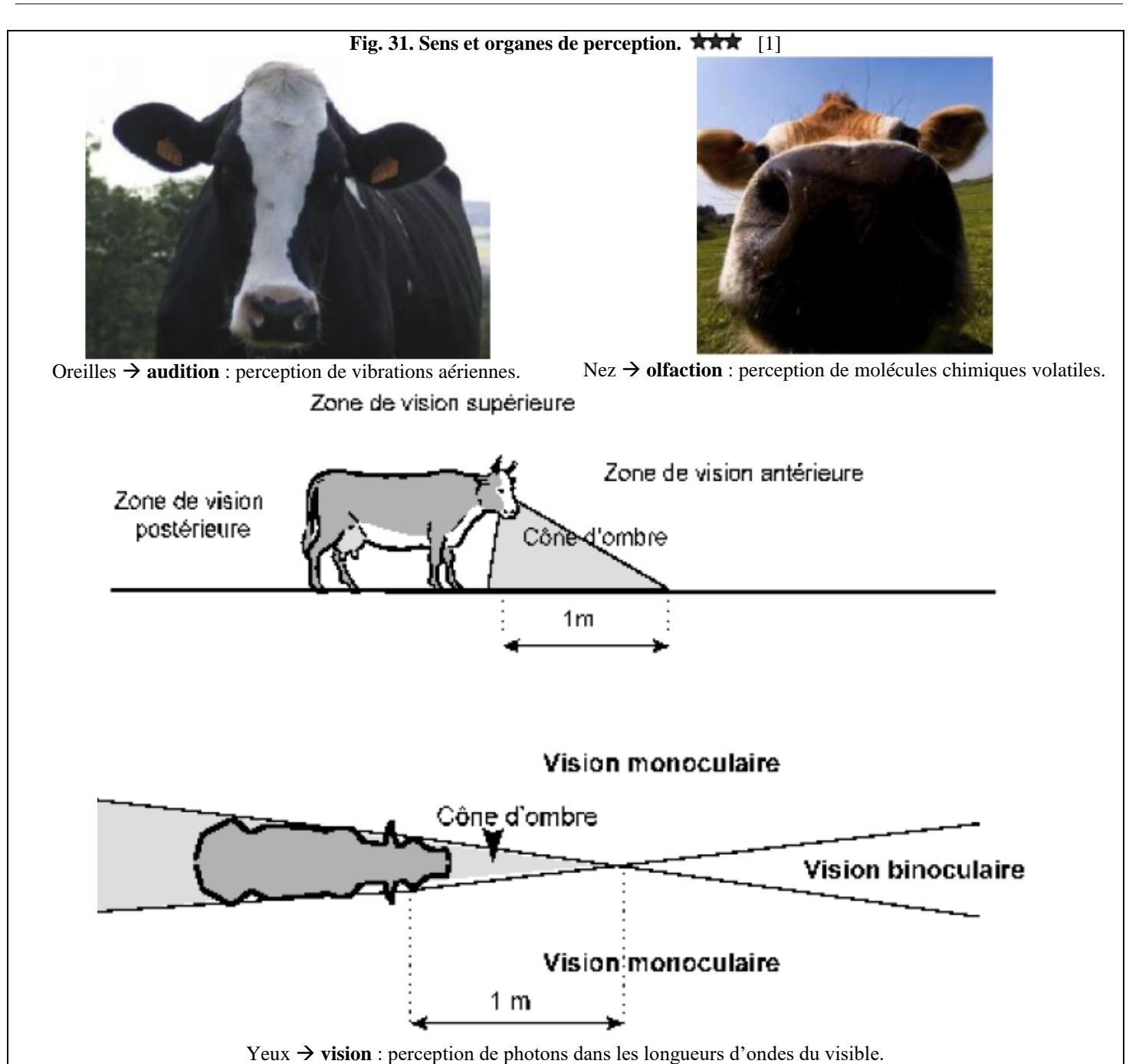
Une race allaitante : la Charolaise



Race bouchère très appréciée, fournissant une viande peu grasse et de qualité. 1 800 000 têtes en France environ. Vaches de 700 kg à 1,2T (1T à 1,65T pour le taureau)

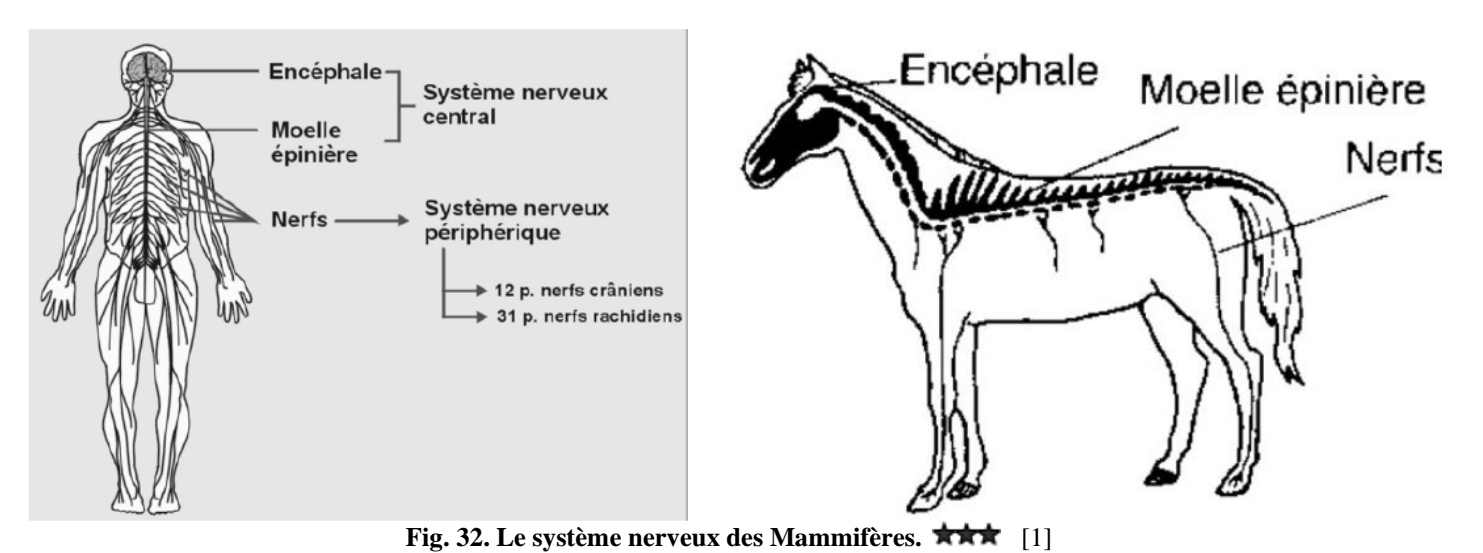
Fig. 30. Deux exemples de races de Vaches. ★ [1]

BCPST1 – G. Furelaud 13/16



Teak > vision : perception de photons dans les longueurs à ordes du vision.

Langue → goût : perception de molécules chimiques.



Peau → toucher

BCPST1 – G. Furelaud 14/16

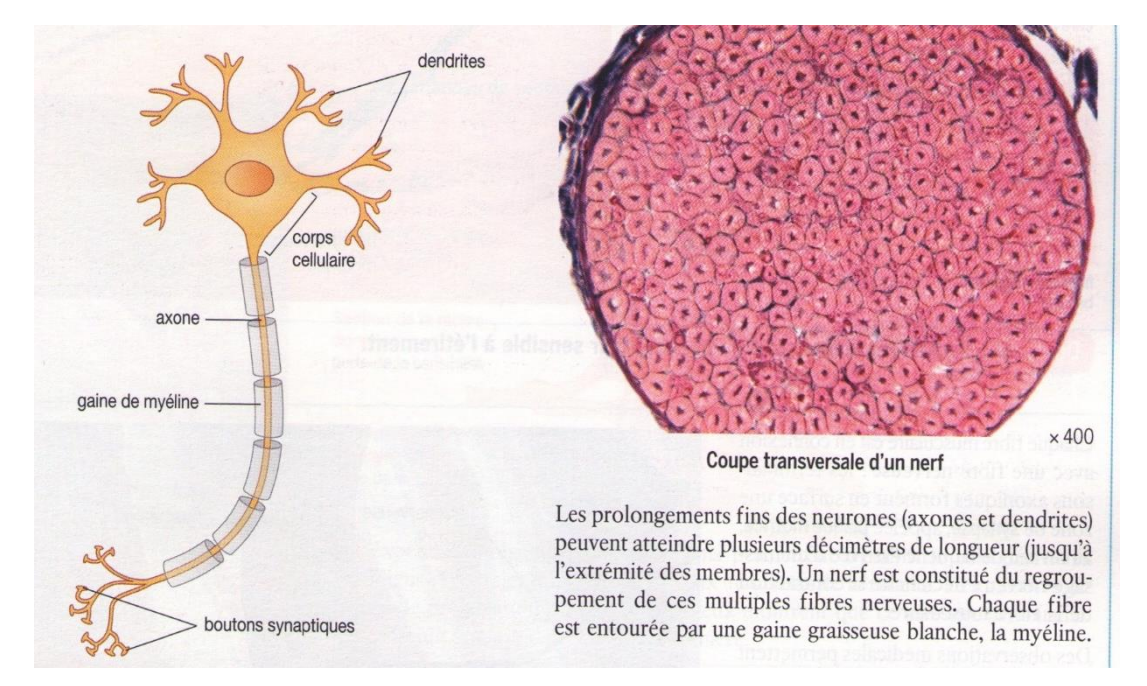


Fig 33. Structure d'un neurone et coupe d'un nerf.

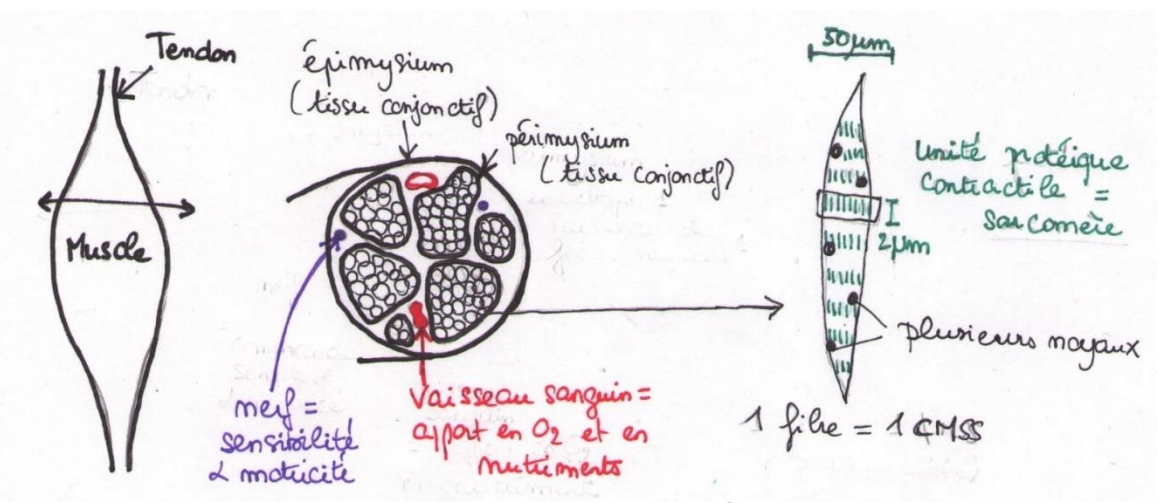


Fig. 34. Organisation du muscle. ** [7]

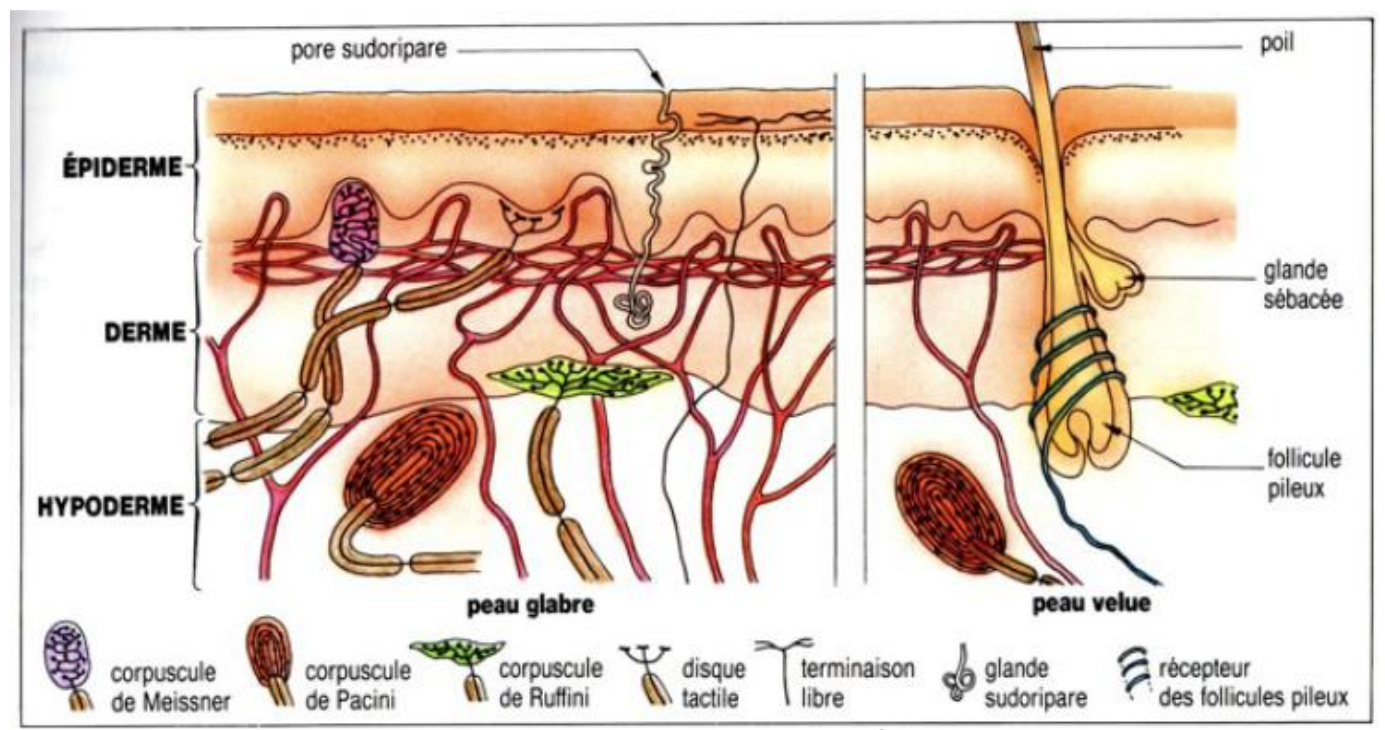


Fig. 35. Le tégument des Mammifères. ** [1]

BCPST1 – G. Furelaud 15/16



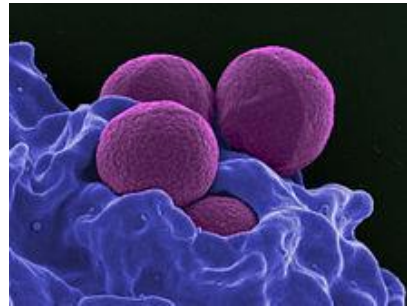
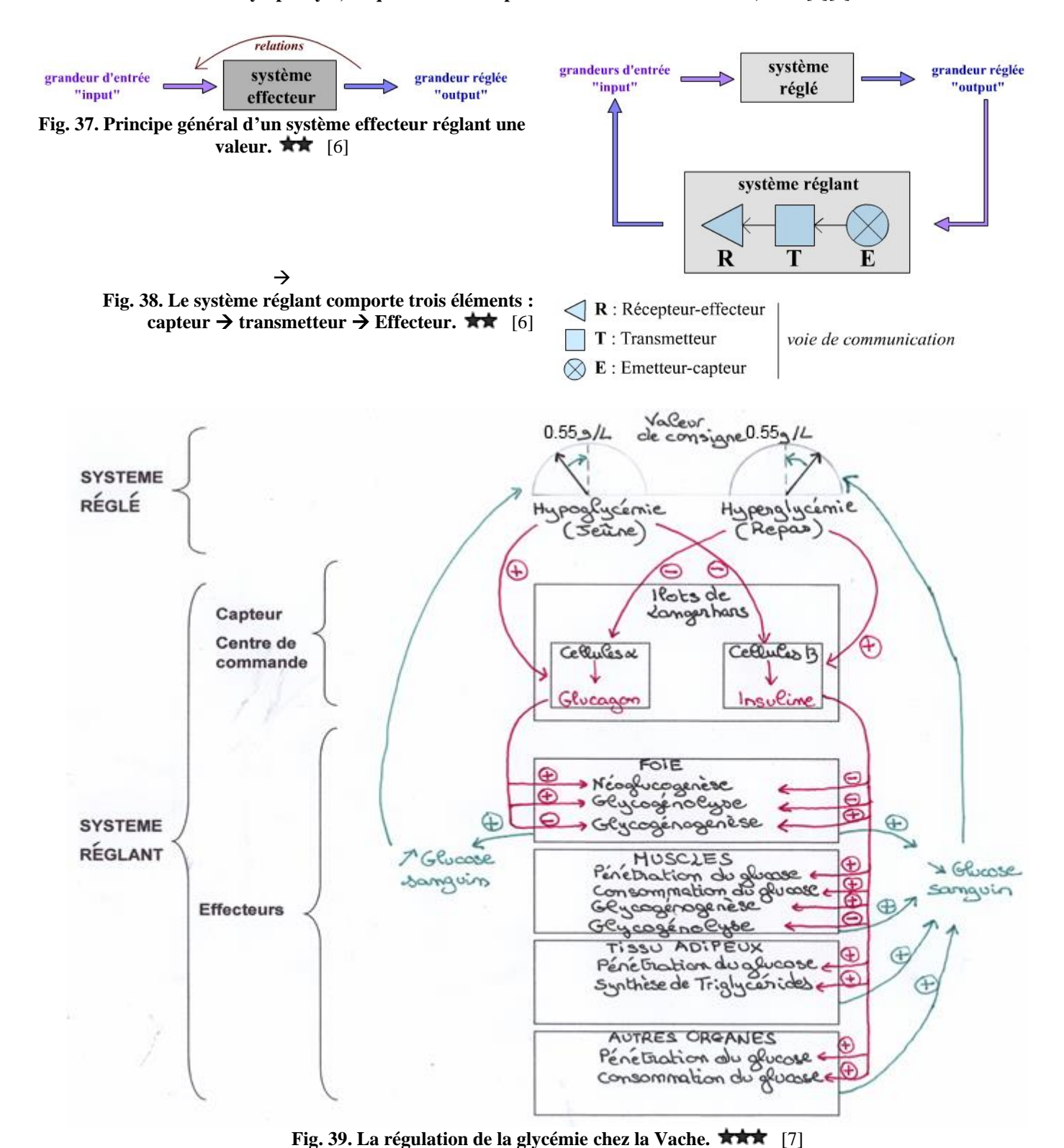


Fig. 36. Un exemple de parasite de la Vache (le taon du bœuf - à gauche) et d'un pathogène de la Vache (*Staphylococcus aureus*, responsable par exemple de mammites – à droite, quatre Staphylocoques en train de se faire phagocyter par une lymphocyte, ce qui montre la réponse immunitaire de l'animal). ***** [1][4]



BCPST1 – G. Furelaud 16/16

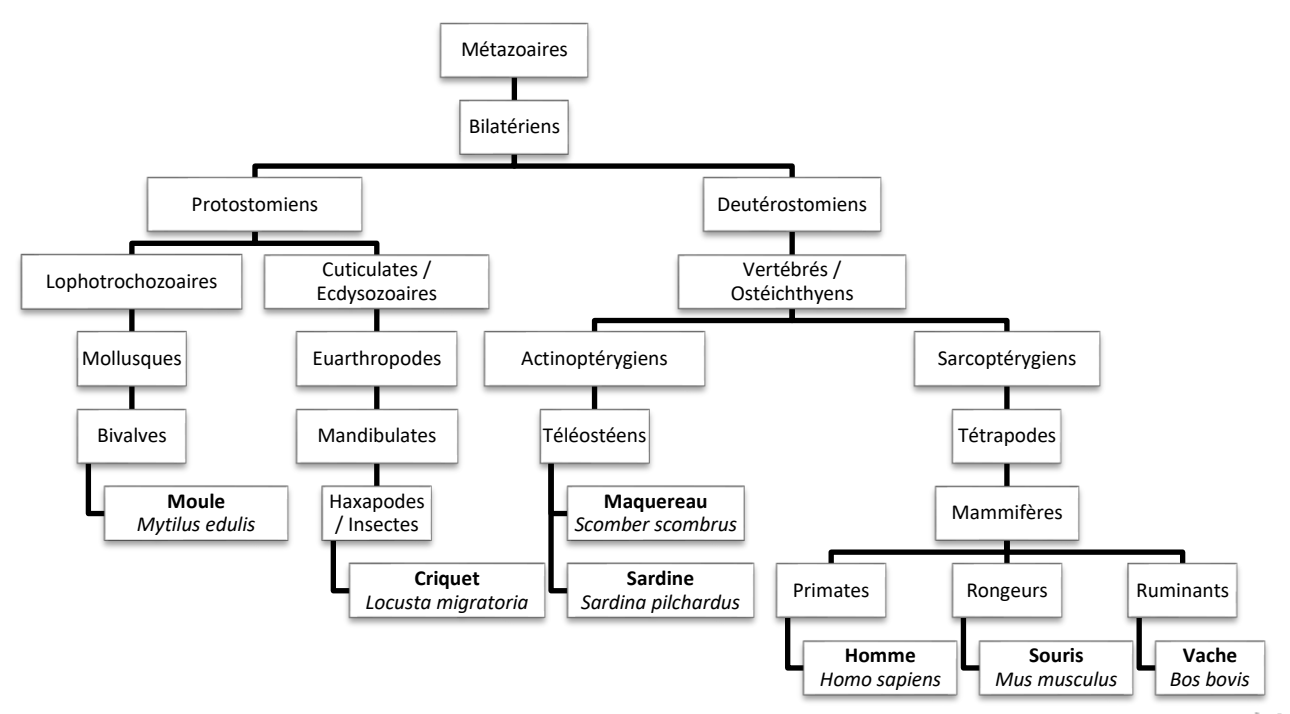


Fig. 40. Arbre phylogénétique très simplifié des Métazoaires indiquant les positions des espèces au programme.

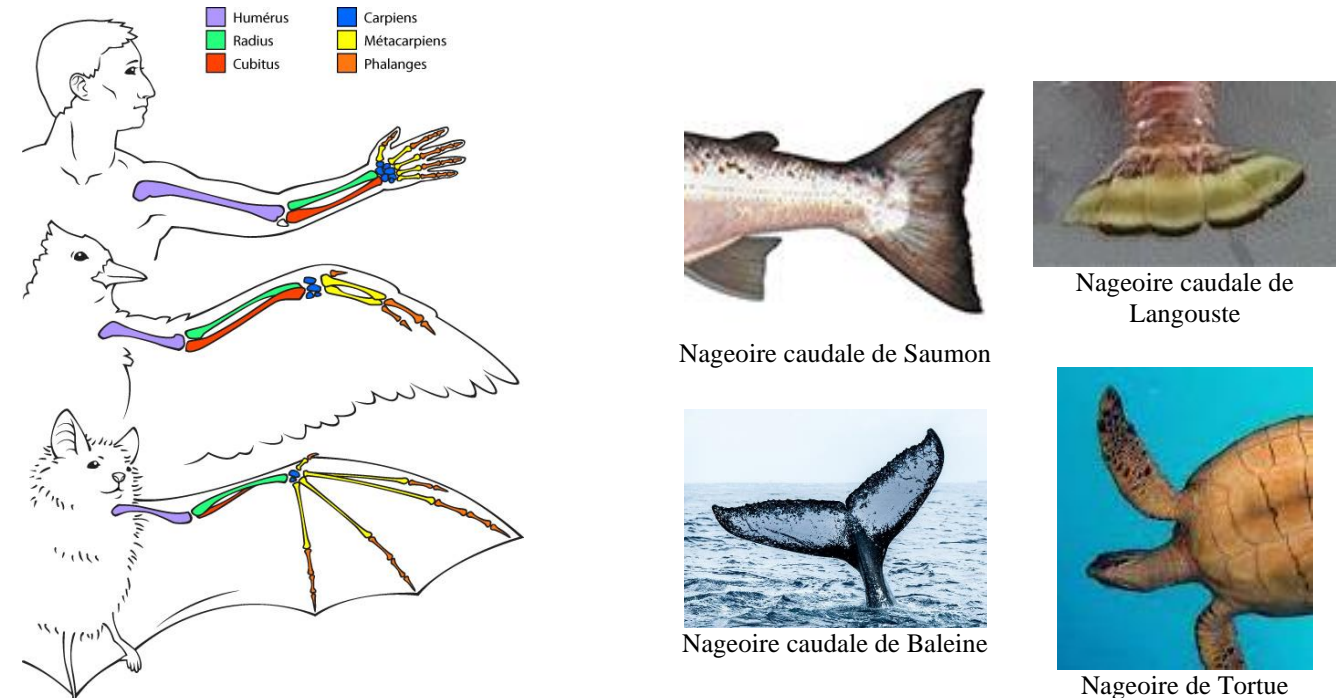


Fig. 41. Membre chiridien : deux types d'ailes par convergence.

Fig. 42. Exemples de nageoires issues de convergence. **†** [1]

| Références | [1] Ouvrage ou page Internet non précisé | [2] G. Lecointre. Comprendre et enseigner la classification du vivant. Belin | [3] H Le Guyader et G Lecointre. La classification phylogénétique du vivant. Belin | [4] National Institutes of Health (NIH) | [5] Manuel scolaire de lycée | [6] https://planet-vie.ens.fr/thematiques/animaux/cybernetique-et-physiologie | [7] P. Piccino, lycée M. Berthelot